05,08

# Конфигурации магнитных скирмионов высокого порядка и пирловского вихря в связанном состоянии

© А.Д. Федосеев $^1$ , М.С. Шустин $^{2,\P}$ , Д.М. Дзебисашвили $^1$ 

E-mail: mshustin@yandex.ru

Поступила в Редакцию 6 марта 2025 г. В окончательной редакции 6 марта 2025 г. Принята к публикации 5 мая 2025 г.

В рамках магнитного энергетического функционала гибридной 2D структуры сверхпроводник/киральный магнетик, в котором учитываются: обменное взаимодействие, одноионная анизотропия, а также орбитальные и зеемановские эффекты полей рассеяния пирловского вихря, изучены условия стабилизации магнитных скирмионов высокого порядка со значениями топологического заряда |Q|=3, 4. В отличии от случая |Q|=2, изученного ранее [Письма в ЖЭТФ, 120, 539–546 (2024)], скирмионы с более высокими |Q| не обязаны формировать некоаксильные конфигурации связанной пары с вихрем Пирла. При этом для скирмионов с |Q|=3 конкуренция взаимодействий в континуальном пределе допускает различную степень коаксиальности, однако коаксиальная конфигурация не может быть стабилизирована на реальной дискретной решетке из-за малых размеров скирмионов. Скирмионы с |Q|=4 формируются устойчивые коаксиальные пары с вихрем Пирла.

Ключевые слова: магнитные скирмионы, сверхпроводящий вихрь Пирла.

DOI: 10.61011/FTT.2025.07.61189.20HH-25

#### 1. Введение

Двумерные магнитные скирмионы (МС) являются локализованными вихреподобными конфигурациями, для которых поле намагниченности  $\mathbf{m}(\mathbf{r})$  принадлежит к нетривиальной компоненте гомотопической группы  $\pi_2(\mathbb{S}^2) \in \mathbb{Z}$  [1,2]. Так как конфигурация для ферромагнитного состояния отвечает тривиальной компоненте, плавный коллапс МС не может реализоваться без преодоления энергетического барьера. Последним обусловлен практический интерес к исследованию МС, как к потенциальным объектам для реализации элементной базы устройств магнитной памяти, спинтроники и сверхпроводящей электроники [3–5].

Количественной характеристикой, позволяющей определять принадлежность МС к определенным гомотопическим классам является топологический заряд Q, определяемый в терминах поля намагниченности как [1,2]:

$$Q = \frac{1}{4\pi} \int_{\mathbb{D}^2} \left( \mathbf{m} \cdot \left[ \frac{\partial \mathbf{m}}{\partial x} \times \frac{\partial \mathbf{m}}{\partial y} \right] \right) d^2 \mathbf{r}, \tag{1}$$

Наиболее изученными являются скирмионы с |Q|=1, однако в последние годы существенно активизировались исследования более экзотических МС, несущих иные значения Q, а именно: скирмионы высокого порядка [6,7], скирмионные мешки [8-12], бискирмионы [13] и т.д. Среди отмеченных структур, магнитные скирмионы высокого порядка  $[MCB\Pi)$  представляют собой

вихри, поле намагниченности которых может быть параметризовано в терминах скирмионного угла  $\Theta(r)$  как:

$$m_x = \sin \Theta(r) \cos n\varphi;$$
  
 $m_y = \sin \Theta(r) \sin n\varphi; \quad m_z = \cos \Theta(r).$  (2)

Здесь r и  $\varphi$  есть радиальная и угловая переменные полярной системы координат на пленке с началом, совпадающим с центром скирмиона; n есть индекс завихренности ("vorticity") МСВП, связанный с топологическим зарядом соотношением n=-Q. Таким образом, МСВП с различными значениями n принадлежат к различным гомотопическим классам, являются метастабильными конфигурациями и не могут переходить друг в друга без преодоления энергетического барьера — тем более существенного, чем больше размеры МСВП.

Среди механизмов стабилизации магнитных скирмионов наиболее активно рассматривается киральное взаимодействие Дзялошинского—Мории (Д—М) [14]. Однако, в случае МСВП с |n| > 1 последнее дает нулевой вклад в магнитный энергетический функционал. Кроме взаимодействия Д—М, рассматривались другие механизмы, обусловленные, например: магнетостатическими взаимодействиями [7,15], фрустрированными обменными связями [6,16] или гибридизацией локализованных магнитных моментов с коллективизированными электронами [13,17]. Также была предложена аналитическая подстановка для системы из нескольких магнитных вихрей, в том числе несущих топологический заряд |Q| > 1,

<sup>&</sup>lt;sup>1</sup> Институт физики им. Л.В. Киренского, ФИЦ КНЦ СО РАН, Красноярск. Россия

<sup>&</sup>lt;sup>2</sup> Институт теоретической физики им. Л.Д. Ландау РАН,

Черноголовка, Россия

в планарных наноструктурах с произвольной формой границы [18].

Недавно авторами был предложен дополнительный механизм стабилизации МСВП с |n| > 1, обусловленный орбитальными эффектами неоднородных магнитных полей [19-21]. В качестве последних мы рассматривали поля рассеяния пирловского вихря (ПВ). В случае коаксиальных конфигураций — с совпадающими координатами центров МСВП и вихря Пирла — была развита аналитическая теория связанных состояний и продемонстрировано, что для сильно коррелированных систем вклад орбитальных слагаемых в энергию МСВП может быть сопоставим с вкладом от взаимодействия Д-М [19,20]. В дальнейшем было показано [21], что орбитальные эффекты допускают стабилизацию некоаксиальных конфигураций — по аналогии со случаем связанных пар ПВ-МС с |Q| = 1 (стабилизированных взаимодействием Д-М), детально исследованном в серии недавних работ [22-25]. Было показано, что в простейшем случае n=2 всегда реализуются некоаксиальные связанные конфигурации ПВ-МСВП [20].

С другой стороны, качественный анализ зеемановских и орбитальных вкладов в магнитный функционал, частично проведенный в работе [21], показывает, что МСВП с n>2 потенциально могут сформировать и коаксиальные конфигурации. Последние, в свою очередь, могут стать платформой для реализации на магнитных скирмионах майорановских связанных состояний [26–31]. В настоящей работе исследуются условия стабилизации связанных пар ПВ–МСВП с n>2 за счет орбитальных эффектов полей рассеяния ПВ и показывается возможность реализации коаксиальных связанных конфигураций.

## 2. Энергетический функционал МСВП в поле рассеяния вихря Пирла

Условия формирования МСВП в гибридных двумерных структурах сверхпроводник/ферромагнетик будем рассматривать в рамках следующего классического магнитного функционала на треугольной решетке:

$$\mathcal{H} = -\sum_{\langle f,g \rangle} \mathcal{I} \cdot \mathbf{S}_f \cdot \mathbf{S}_g + \sum_{\langle f,g,l \rangle \in \Delta} \mathcal{H} \cdot \mathbf{S}_f \cdot [\mathbf{S}_g \times \mathbf{S}_l]$$
$$-\mathcal{B} \sum_f S_f^z - \mathcal{A} \sum_f (S_f^z)^2$$
(3)

Здесь  $\mathbf{S}_f$  есть классические трехкомпонентные вектора на узле f. Первое слагаемое правой части (3) описывает обменное взаимодействие ферромагнитного типа,  $\mathcal{I}>0$ , между соседними узлами f и g. Второе слагаемое описывает трехспиновое взаимодействие между тремя ближайшими узлами f, g и l, формирующими минимальный плакет  $\Delta$  на треугольной решетке. Оно также называется скалярным киральным взаимодействием (СКВ). Параметр  $\mathcal{I}>0$  описывает одноионную анизотропию

типа "легкая ось",  $\mathscr{B}$  — выраженную в энергетических единицах напряженность внешнего магнитного поля, направленного вдоль оси квантования z, перпендикулярной пленке.

Спиновый гамильтониан типа (3) может быть получен при рассмотрении эффективных взаимодействий в двумерных мотт-хаббардовских изоляторах [19,32,33]. В таком рассмотрении слагаемое  $\propto \mathcal{I}$  имеет смысл сверхобменного взаимодействия, а слагаемые  $\propto \mathcal{K}$  и  $\propto \mathscr{B}$  описывают орбитальные и зеемановские эффекты внешнего магнитного поля, соответственно. При этом неоднородная амплитуда  $\mathcal{K}(f,g,l)$  определяется потоком магнитного поля  $\Phi_{\Delta}$  через треугольный плакет  $\Delta$ . Слагаемое с легкоосной анизотропией  $\propto A$  может быть обусловлено как эффектами кристаллического поля, так и эффективно индуцировано диполь-дипольными взаимодействиями для скирмионов достаточно больших пространственных размеров [22,34,35]. Было показано, что в режиме сильных электронных корреляций реализуется иерархия амплитуд эффективных взаимодействий,  $\mathcal{I} \gg \mathcal{K} \gg \mathcal{A}$ , которой мы будем в дальнейшем придерживаться.

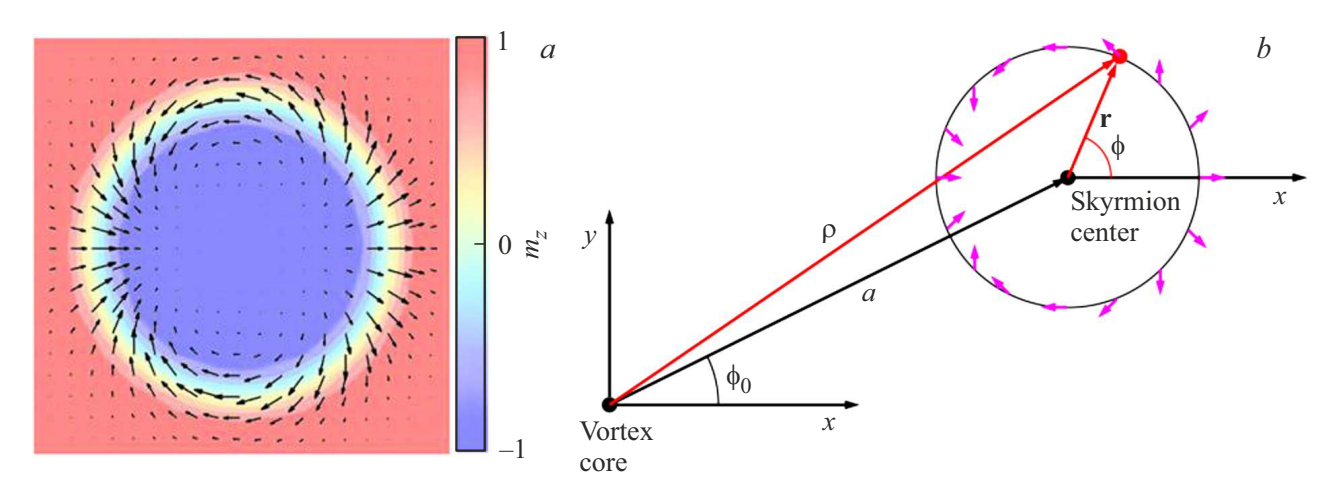
При описании пирловского вихря будем предполагать, что параметр его эффективной длины  $\lambda$  существенно превосходит характерные размеры скирмиона. Соответственно, при описании взаимодействия между сверхпроводящим и магнитными вихрями будем учитывать лишь влияние первого на последние, игнорируя обратное влияние. Также пренебрежем сверхпроводящим эффектом близости, считая, что ПВ действует на магнитные скирмионы лишь посредством неоднородных полей рассеяния:  $\mathbf{H}(\rho, \varphi, z \to 0_+) = H_z(\rho) \cdot \mathbf{e}_z + H_\rho(\rho) \cdot \mathbf{e}_\rho$ . Здесь и далее посредством  $\rho = [(x-x_0)^2 + (y-y_0)^2]^{1/2}$  обозначена радиальная переменная полярной системы координат с началом совпадающим с центром вихря Пирла,  $(x_0, y_0) = -(a \cdot \cos \phi_0, a \cdot \sin \phi_0)$  (см. рис. 1). Радиальная зависимость компонент  $H_{z/\rho}$  определяется выражениями [25,36–38]:

$$H_{z/\rho}(\rho) = \frac{s_H \Phi_0}{2\pi} \int_0^\infty \frac{q J_{0,1}(q\rho)}{1 + 2q\lambda} dq \cong \frac{s_H \Phi_0}{4\pi\lambda} \frac{1}{\rho}, \quad (4)$$

где множитель  $s_H=\pm 1$  определяет взаимные направления поля вихря и намагниченности насыщения пленки,  $\Phi_0$  — квант магнитного потока. При написании (4) мы предполагали, что размеры кора вихря  $\xi$  пренебрежимо малы, по сравнению с характерными размерами скирмиона и вихря Пирла.

Вопрос о стабилизации МСВП в неоднородном поле будем рассматривать в рамках вариационного подхода для континуальной версии классического функционала (3). В качестве пробной функции, описывающей формирование МСВП, будем рассматривать двухпараметрический анзац скирмионного угла [39]:

$$\Theta(r, R, w) = 2 \arctan\left(\frac{\cosh R/w}{\sinh r/w}\right).$$
 (5)



**Рис. 1.** a — Пространственный профиль магнитного скирмиона высокого порядка с n=2. Стрелками визуализирована проекция поля намагниченности m(r) на плоскость пленки XoY. Цвета отвечают значениям проекции намагниченности в соответствии с цветовым кодом, приведенным справа. b — Геометрия взаимного расположения сверхпроводящего пирловского вихря и МСВП с n=2. Энергия пары ПВ и МСВП зависит от расстояния между их центрами, и от угла  $\phi_0$ , задающего взаимную ориентацию центров.

Такая параметризация, совместно с (2), имеет смысл аксиально симметричной 1D доменной стенки, где w ее ширина, R — расстояние от центра скирмиона до ее середины. Все расстояния измеряются в единицах параметра решетки. Далее, будем предполагать, что центры ПВ и МСВП могут быть смещены друг относительно друга, а их взаимное расположение параметризуется полярными переменными — расстоянием  $a \ll \lambda$  между центрами и углом  $\varphi_0$ . Визуализация пространственного профиля МСВП с n = 2, построенная с использованием (2) и (5), а также геометрия взаимного расположения МСВП и ПВ представлены на рис. 1. Важно подчеркнуть, что при анализе некоаксиальных конфигураций нами не учитывались искажения профилей скирмионов радиальными компонентами  $H_{\rho}$  поля вихря Пирла [23–25]. Также отметим, что введение в параметризации (2) дополнительного параметра спиральности скирмионов (т. н. "helicity") χ в представленном рассмотрении привело бы к перенормировке угла  $\phi_0$ , а потому мы в качестве точки отчета спиральности выбрали  $\chi = 0$ .

Предполагая, что размеры скирмиона существенно превышают параметр решетки  $R, w \gg 1$ , можно перейти к континуальному описанию функционала (3). В таком приближении энергия возбуждения МСВП над ферромагнитным состоянием,  $m_z \equiv 1$ , описывается функционалом  $E[\mathbf{m}] = E_J + E_A + E_K + E_Z$  со следующими энергетическими вкладами [19,21]:

$$E_J = \frac{\sqrt{3}S^2\mathcal{Y}}{2} \int_{\mathbb{R}_2} \sum_{\mu=x,y,z} (\nabla m_{\mu})^2 ds,$$

$$E_A = \frac{2}{\sqrt{3}S^2 \mathcal{A}} \int_{\mathbb{R}_2} (1 - m_z^2) ds, \qquad (6)$$

$$E_K = S^3 \int_{\mathbb{P}_*} \mathcal{K}(|\mathbf{r} - \mathbf{r}_0|) \cdot \left( \mathbf{m} \cdot \left[ \frac{\partial \mathbf{m}}{\partial x} \times \frac{\partial \mathbf{m}}{\partial y} \right] \right) ds, \quad (7)$$

$$E_Z = \frac{2Sg\mu_B}{\sqrt{3}} \int_{\mathbb{R}_2} (H_z - \mathbf{H}(|\mathbf{r} - \mathbf{r_0}|) \cdot \mathbf{m}) \cdot ds, \qquad (8)$$

где  $|\mathbf{m}| = 1$ ,  $\nabla = (\partial/\partial x, \partial/\partial y, 0)$ ,  $ds = dx \wedge dy$ ,  $r_0 = -(a \cdot \cos \varphi_0, a \cdot \sin \varphi_0, 0)$ .

Орбитальные эффекты полей рассеяния ПВ содержатся в слагаемом  $E_K$  (8), описывающим скалярное киральное взаимодействие с неоднородным ядром:

$$\mathcal{K}(|\mathbf{r} - \mathbf{r}_0|) = K \cdot \sin(\pi \Phi_{\Delta}(|\mathbf{r} - \mathbf{r}_0|)/\Phi_0). \tag{9}$$

Коэффициент  $K_c = \frac{\sqrt{3}}{4} KS^3$  мы в дальнейшем будем называть амплитудой СКВ. При моделировании МСВП с n=3, 4 мы будем исследовать как решеточную версию функционала (3), так и континуальную версию (6)-(8), в которой производные будут численно аппроксимироваться разностной схемой на квадратной сетке, шаг которой существенно меньше, чем R и w. При этом в континуальном пределе мы считали, что  $\Phi_{\Delta} = \sqrt{3}H_z(\mathbf{r})/4$ .

В условиях доминирования обменного вклада,  $E_J\gg E_K,\,E_Z,\,E_A$ , имеет место соотношение между радиусом и шириной доменной стенки МСВП,  $R\sim nw$  [19]. Не зависящие от взаимного расположения МСВП и ПВ вклады,  $E_J+E_A$ , стремятся сколлапсировать скирмион, т.е. отвечают оптимальному  $R\to 0$ . Учет скалярного кирального взаимодействия  $E_K$  может, однако, стабилизировать МСВП конечного радиуса, например, в режиме  $K>0,\,n>1\,$  и  $s_H=-1$ . Последнее отвечает случаю, когда поле пирловского вихря противонаправлено намагниченности насыщения пленки вдали от скирмиона, который мы и будем в дальнейшем рассматривать. При

этом учет малых зеемановских поправок  $E_Z$  может существенно модифицировать оптимальные размеры скирмионов.

Из-за зависимости орбитальных и зеемановских слагаемых (7)-(8) от координаты центра ПВ  ${\bf r}_0$ , энергетический функционал МСВП зависит от полярных переменных  ${\bf r}_0$  и  $\phi_0$  (см. рис. 1,b). При этом производные  $\partial E_Z/\partial a$  и  $\partial E_Z/\partial \phi_0$  пропорциональны, соответственно, радиальной и азимутальной компонентам равнодействующих пандеромоторных сил, воздействующих на МСВП. Как было показано в работе [21], при n>1 выделяются n-1 значений угла  $\phi_0$ :

$$\overline{\phi}_0^n = \left(1 + \frac{1 + 2m}{n - 1}\right) \pi(\operatorname{mod} 2\pi), \quad m \in \mathbb{Z}$$
 (11)

для которых силы действуют вдоль радиальных направлений,  $\partial E/\partial \phi_0=0$ , а зеемановский вклад от радиальных компонент поля Пирла — направленных вдоль пленки — отрицателен,  $E_Z^{(r)}(a)<0$ . В дальнейшем мы будем рассматривать поведение функционала E(a) вдоль таких направлений.

Поведение функционала E(a) определяется как явной зависимостью парциальных вкладов от параметра a, так и зависимостью радиуса скирмиона от расстояния, R = R(a). В работе [21] было показано, что хотя последняя зависимость и может приводить к существенному перераспределению парциальных вкладов от разных взаимодействий в функционал, определенные тенденции поведения системы могут быть поняты из анализа лишь явной зависимости E(a). Такой анализ, частично содержащийся в [19-21], показывает следующие особенности поведения парциальных вкладов в E(a). Вклад от поперечных пленке зеемановских компонент поля,  $E_{Z}^{(z)}$ , не зависит от индекса завихренности n, и при малых a возрастает как  $E_Z^{(z)}|_{a\ll R}\sim -eta_0+eta_z a^2$ , где  $\beta_z > 0$ . Поведение вкладов, связанных с орбитальными эффектами  $E_K$ , а также с зеемановскими эффектами  $E_{\rm Z}^{(r)}$  от продольных зеемановских компонент поля вихря Пирла уже зависят от n. Так, в случае  $n\gg 1$  поведение  $E_K(a)$  при малых a аналогично поведению  $E_Z^{(z)}$ . Таким образом, вклады в функционал  $E_K$  и  $E_Z^{(z)}$  формируют тенденцию к образованию коаксиальной связанной пары ПВ-МСВП. При этом отрицательный вклад  $E_{\rm z}^{(r)} \propto a^{n-1}$ от продольных компонент поля ожидается подавленным при  $n \gg 1$ . Таким образом, для МСВП с большими |Q| ожидается возможность формирования коаксиальных связанных пар с ПВ. Численные расчеты показывают, что случай  $n \gg 1$  фактически имеет место для  $n \geq 5$ .

Для МСВП с 1 < n < 5 отдельно выделяется случай n=2, при котором  $E_Z^{(r)}|_{a\ll R} \sim -C\cdot a$  с коэффициентом C>0. Учитывая сказанное выше о поведении  $E_K(a)$  и  $E_Z^{(z)}(a)$ , последнее означает, что энергия связанной пары ПВ-МСВП с n=2 уменьшается с ростом a, а потому коаксиальные конфигурации не реализуются. Здесь важно отметить, что степень зависимости

 $E_K(a)-E_K(0)\propto a^{\alpha_K}$  с  $\alpha_K=2$ , свойственная для  $n\gg 1$ , может отличаться при n=2. Однако, численные расчеты показали, что  $\alpha_K$  не оказывается меньше или равным единице, и вывод об отсутствии коаксиальных пар ПВ-МСВП с n=2 не нарушается. В случаях n=3, 4 конкуренция эффектов от продольных и поперечных компонент поля Пирла усложняется, и для парциальных вкладов в функционал сложно получить аналитические оценки даже в пренебрежении зависимостями R(a) и w(a). Поэтому, дальнейший анализ МСВП с n=3, 4 нами проводился численно.

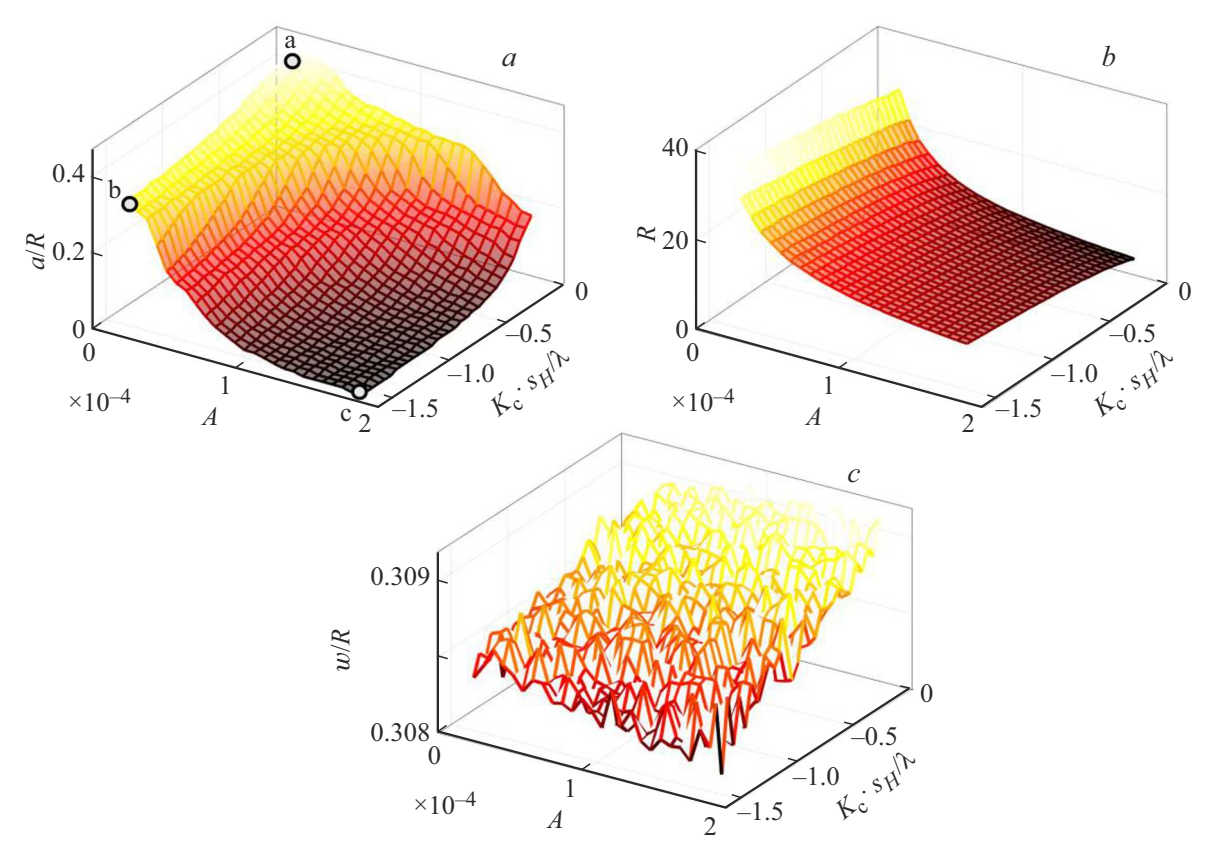
### 3. Связанные состояния $\Pi B - MCB\Pi$ с n = 3, 4

Для выявления основных тенденций поведения связанной пары ПВ-МСВП с n=3 мы проводили численные расчеты континуальной версии функционала (6)-(8) на квадратной сетке. Главный анализ проводился в предположении, что оптимальные размеры скирмиона, R(a) и w(a), могут изменяться при удалении от вихря Пирла: минимизация функционала E(R,w,a) проводилась для каждого заданного значения a. Однако, для полноты, проводились также расчеты в предположении, что оптимальные размеры МСВП определяются функционалом в соосной конфигурации, и не меняются при удавлении от ПВ. При этом в континуальном приближении всегда считалось, что шаг сетки  $\delta \ll R, w$ .

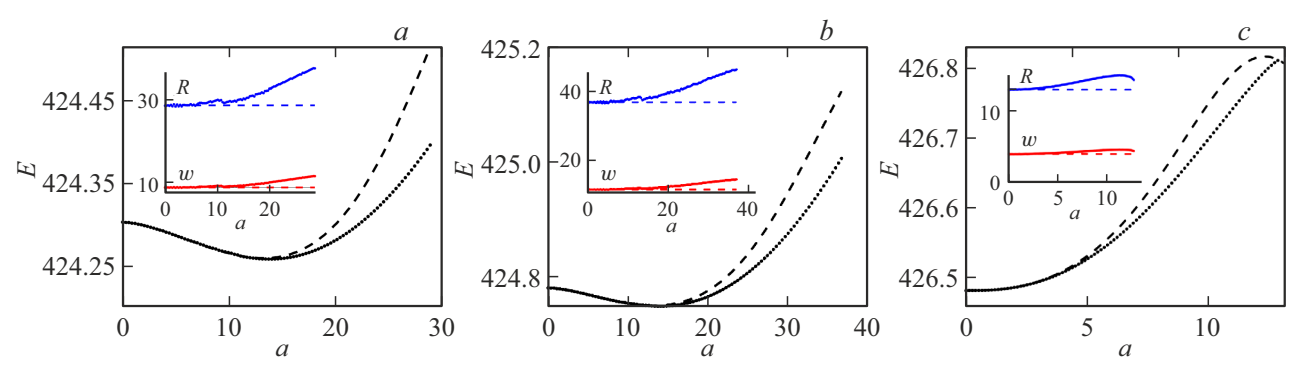
Как было сказано выше, режим  $E_J\gg E_K$ ,  $E_Z$ ,  $E_A$  задает связь  $R\sim nw$ , продемонстрированную явно на рис. 2, c для случая n=3. Кроме того, так как тенденция к смещению МСВП формируется за счет взаимодействия радиальных компонент ПВ с доменной стенкой скирмионов, в окрестности радиуса R, очевидно, что ненулевые оптимальное значения параметра смещения будут пропорцианальны радиусу скирмиона  $a\propto R/2$ . Таким образом, для анализа степени коаксиальности связанных пар ПВ—МСВП, а также размеров МСВП достаточно анализировать величины a/R и R, соответственно.

Посчитанные в континуальном приближении зависимости, a/R и R для МСВП с n=3 от энергетических параметров одноионной анизотропии A и скалярного кирального взаимодействия  $K_c$  приведены на рис. 2. Видно, что с ростом анизотропии размер скирмиона быстро убывает,  $R \propto A^{-\alpha}$ , а с ростом интенсивности скалярного кирального взаимодействия медленно возрастает,  $R \propto K_c^\beta$ . При этом видно, что эксцентричным конфигурациям с  $a/R \propto 0.5$  соответствуют скирмионы больших радиусов,  $R \gg 1$ , тогда как при уменьшении размеров скирмионов возникает тенденция к формированию коаксиальных конфигураций. Последнюю можно определить условием, при котором параметр смещения a становится меньше шага решетки.

Из рассмотрения зависимостей на рис. 2, a и 2, b видно, что в континуальном приближении формирование соосных связанных пар ПВ-МСВП с n=3 оказывается



**Рис. 2.** Зависимости a/R, R и w/R от величин констант анизотропии и скалярного кирального взаимодействия для континуальной модели при n=3.

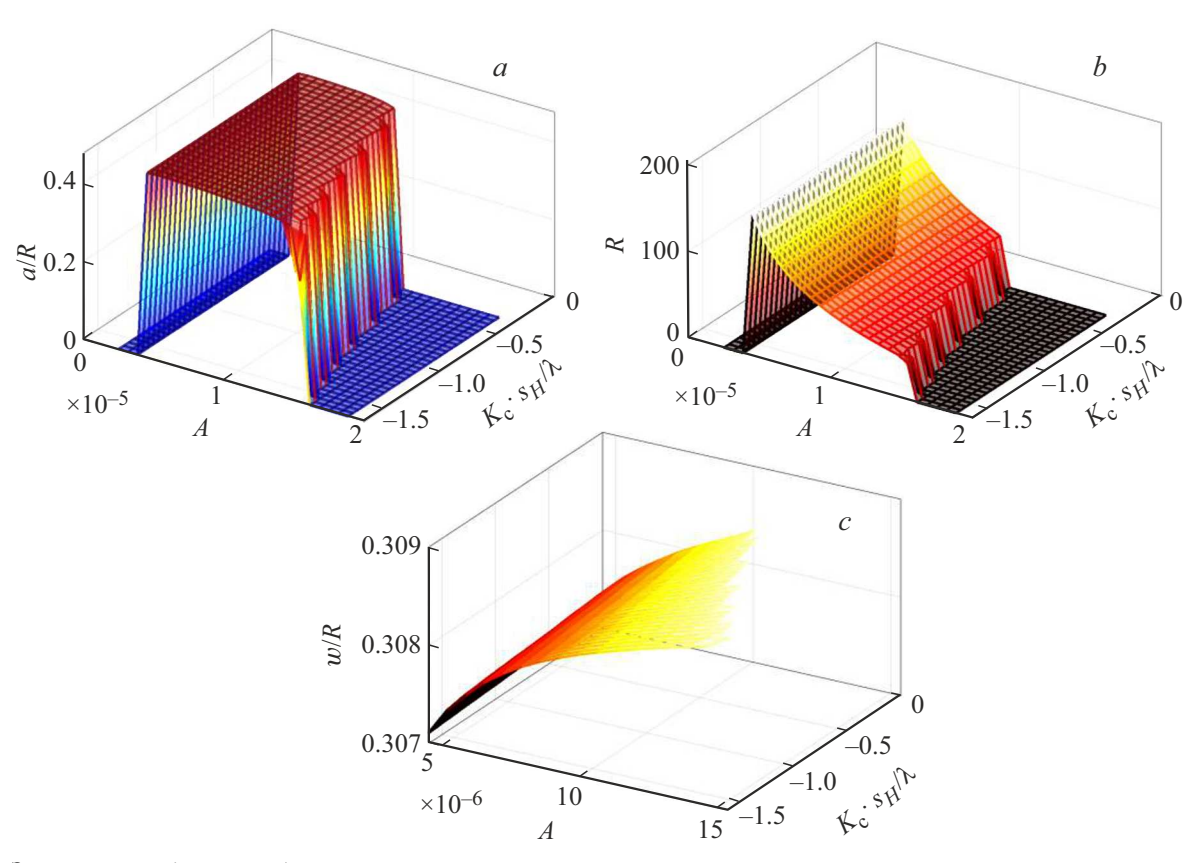


**Рис. 3.** Зависимости энергии скирмиона от величины смещения при параметрах, отвечающим трем точкам a,b и c на рис. 2,a. При расчете точечных линий одновременно с нахождением энергии как функции a проводилась также оптимизация размеров МСВП. Штриховые линии построены при фиксированных значениях R и w, полученных при a=0.

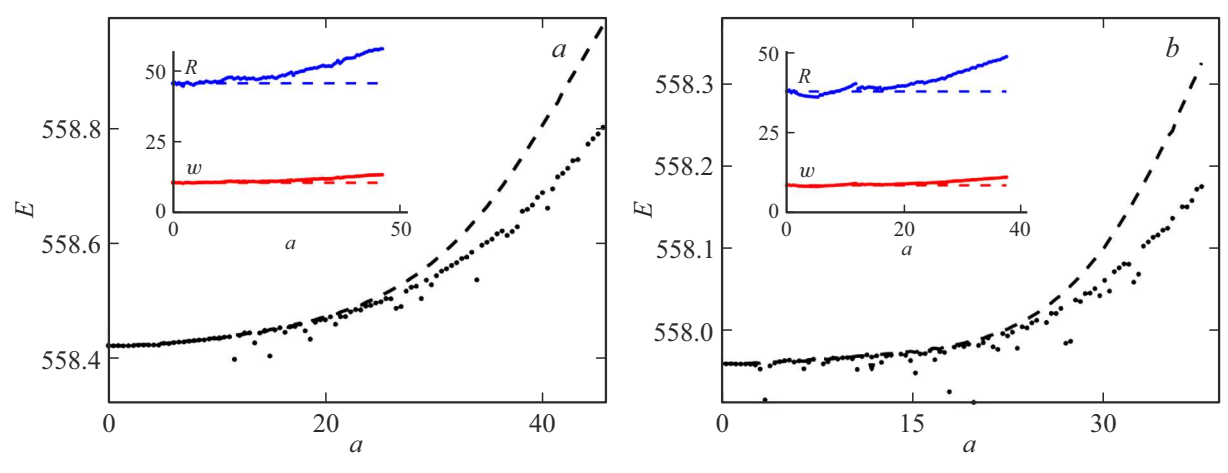
возможным, однако это происходит при размерах скирмионов  $R\sim 10,\, w\sim 3$ , при которых континуальное приближение оказывается неприменимым. Для наглядной демонстрации этого утверждения на рис. 3 приведены зависимости энергии МСВП E от расстояния a для трех разных наборов параметров, отвечающих точкам a,b и c на рис. 2,a. Видно, что некоаксиальным конфигурациям a и b отвечают достаточно большие МСВП, а коаксиальному случаю c — скирмионы c неадекватно маленькими для континуального описания размерами.

Таким образом, приведенные рассчеты в континуальном приближении позволяют увидеть тенденцию МСВП с n=3 формировать соосную связанную пару с ПВ, но не гарантируют ее формирование.

Для более детального изучения возможности образования соосных связанных пар мы вычислили те же зависимости a/R, R и w/R, но в рамках решеточного функционала (3). Результаты вычисления в более узкой области изменения параметров A и  $K_c$  представлены на рис. 4. В данном случае соотношение  $R \approx nw$  по-



**Рис. 4.** Зависимости a/R, R и w/R от величин констант анизотропии и скалярного кирального взаимодействия на дискретной треугольной решетке.



**Рис. 5.** Зависимости энергии скирмиона от величины смещения для n=4. Точки отвечают минимизации энергии при заданном a по размерам скирмиона R, w, штриховая линия — зависимость энергии при фиксированных R, w, полученных для a=0.

прежнему выполняется, однако имеются критические линии параметров, при которых МСВП с n=3 коллапсируют, не достигая соосного состояния — из-за малых размеров и дискретности решетки.

Таким образом, хотя в случае связанных пар  $\Pi B-MCB\Pi$  с n=3 континуальный предел допускает наличие коаксиального режима, ему соответствуют скирмионы настолько малых размеров, что фактические являются неустойчивыми при учете эффектов дискрет-

ности решетки. В итоге для изучаемой нами иерархии энергетических вкладов  $E_J\gg E_K,\ E_Z,\ E_A$  можно утверждать, что в случае n=3 реализуются только некоаксильные связанные пары, как и в случае с n=2.

Далее, мы рассмотрели поведение пар ПВ-МСВП с n=4. Результаты вычислений зависимости E(a), аналогичные приведенным на рис. 3, представлены на рис. 5 для двух наборов параметров системы. Из их рассмотрения видно, что в случае n=4 реализуются

соосные связанные конфигурации. Такая конфигурация нами наблюдалась для всех рассматриваемых параметров, даже с малыми значениями трехспинового взаимодействия. Объяснением такого эффекта является более медленный рост зависимости отрицательного вклада в зеемановскую энергию от радиальной компоненты поля от величины смещения a по сравнению с положительным ростом от слагаемых, описывающих перпендикулярную компоненту, уже при n=4. При этом, с ростом интенсивности скалярного кирального взаимодействия, выраженность минимума зависимости E(a) при a=0 увеличивается. Учитывая сказанное выше, о характере поведения зависимостей  $E_Z^{(r)}(a)$ ,  $E_Z^{(z)}(a)$  и  $E_K(a)$  ожидается реализация коаксиальных пар и при  $n \ge 4$ .

#### 4. Заключение

В настоящей работе исследовалась возможность стабилизации в тонких гетероструктурах сверхпроводник/киральный магнетик соосных пар пирловского вихря и магнитных скирмионов высокого порядка с небольшими топологическими зарядами п. Главным механизмом стабилизации рассматривалась конкуренция обменного взаимодействия, легкоосной одноионной анизотропии, а также орбитальных и зеемановских эффектов полей рассеяния вихря. При этом нами рассматривался режим доминирования в магнитных пленках обменной связи, по сравнению с другими магнитными взаимодействиям. В таком режиме характерные размеры скирмионов их радиус и ширина доменной стенки — оказываются связанными с топологическим зарядом  $R \approx nw$ . Кандидатами в рассматриваемые системы являются слоистые сильно коррелированные соединения, в которых магнитные взаимодействия возникают за счет косвенного обмена, например, переходные 3d- и редкоземельные 4f-металлы [40].

Описанная постановка исследования является естественным продолжением работы [21], в которой основное внимание уделялось МСВП с n = 2 и  $n \gg 1$ . Так, из проведенного анализа следует, что для простейших МСВП с n = 2 всегда реализуются эксцентрические связанные пары, тогда как для МСВП с  $n\gg 1$  возможно, и даже ожидается, формирование коаксиальных пар, аналитическая теория для которых была развита в работах [19,20]. В промежуточном случае конкуренция эффектов воздействия продольных и поперечных компонент поля вихря Пирла на МСВП усложняется, и кроссоверы между разными режимами могут реализовываться при незначительных изменениях энергетических параметров системы. Поэтому, анализ возможностей реализации коаксиальных связанных пар для МСВП с n = 3,4 нами изучался численно.

Мы продемонстрировали, что в случае n=3 и n=4 скирмионы также могут стабилизироваться в полях вихря Пирла за счет орбитальных эффектов. В случае

с n=3 хотя существует тенденция к переходу в коаксиальный режим с ростом параметров анизотропии и величины трехспинового взаимодействия, однако это происходит при параметрах, при которых МСВП уже не может быть устойчив из-за малых размеров. Поэтому, как и в случае n=2, при n=3 фактически реализуется эксцентричная связанная пара МСВП с вихрем Пирла. В случае МСВП с n=4 реализуется коаксиальная конфигурация с вихрем Пирла, и ожидается, что такая ситуация будет сохраняться для n>4.

В заключение отметим, что приведенное исследование носит предсказательный характер, так как в настоящее время отсутствуют данные численных и физических экспериментов для верификации полученных нами результатов. Так, в недавних экспериментальных работах отдельно исследовались скирмионы высокого порядка с |Q|>1 [7], и связанные пары магнитный скирмион с |Q|=1— сверхпроводящий вихрь(антивихрь) [41,42]. Связанные пары вихрь Пирла—МСВП с |Q|>1, насколько нам известно, экспериментально не исследовались. Отсутствие данных численных экспериментов обусловлено тем, что стандартные пакеты магнитного моделирования (например, OOMMF [34]) не оптимизированы для расчета скалярного кирального взаимодействия.

#### Благодарности

Авторы благодарят И.С. Бурмистрова, С.С. Апостолова и Е.С. Андрияхину за важные дискуссии.

#### Финансирование работы

Работа выполнена в рамках госзаданий FWES-2024-0002 "Исследования упорядоченных состояний в конденсированных веществах: синтез новых материалов, эксперимент и теория" (ИФ СО РАН) и FFWR-2024-0017 "Транспорт в неупорядоченных системах: от наноструктур до турбулентной атмосферы" (ИТФ им. Л.Д. Ландау РАН). ШМС благодарит за индивидуальную поддержку фонд развития теоретической физики и математики "БАЗИС".

#### Конфликт интересов

Авторы заявляют, что у них нет конфликта интересов.

#### Список литературы

- [1] А.А. Белавин, А.М. Поляков. Письма в ЖЭТФ **22**, 503 (1975).
- [2] F.N. Rybakov, O. Eriksson, N.S. Kiselev. arXiv:2412.17641v1 (2024).
- [3] S.S.P. Parkin, M. Hayashi, L. Thomas. Science **320**, 190–194 (2008)
- [4] S.S.P. Parkin, S.-H. Yang. Nat. Nanotechnol. 10, 195–198 (2015).
- [5] C. Psaroudaki, E. Peraticos, C. Panagopoulos. Appl. Phys. Lett. 123, 260501 (2023).

- [6] L. Rózsa, K. Palotás, A. Deák, E. Simon, R. Yanes, L. Udvardi, L. Szunyogh, U. Nowak. Phys. Rev. B 95, 094423 (2017).
- [7] M. Hassan, S. Koraltan, A. Ullrich, F. Bruckner, R.O. Serha, Kh.V. Levchenko, G. Varvaro, N.S. Kiselev, M. Heigl, C. Abert, D. Suess, M. Albrecht. Nat. Phys. 20, 615–622 (2024).
- [8] F. Rybakov, N. Kiselev. Phys. Rev. B 99, 064437 (2019).
- [9] V.M. Kuchkin, B. Barton-Singer, F.N. Rybakov, S. Blugel, B.J. Schroers, R.N. Kiselev. Phys. Rev. B 102, 144422 (2020).
- [10] J. Tang, Y. Wu, W. Wang, L. Kong, B. Lv, W. Wei, J. Zang, M. Tian, H.U. Du. Nat. Nanotechnol. 16, 1086-1091 (2021).
- [11] L. Yang, A. Savchenko, F. Zheng, N.S. Kiselev, F.N. Rybakov, X. Han, S. Blügel, R.E. Dunin-Borkowski. Adv. Mater. 36, 2403274 (2024).
- [12] B. Seng, D. Schonke, J. Yeste, R.M. Reeve, N. Kerber, D. Lacour, J.-L. Bello, N. Bergeard, F. Kammerbauer, M. Bhukta, T. Ferté, Ch. Boeglin, F. Radu, R. Abrudan, T. Kachel, S. Mangin, M. Hehn, M. Kläu. Adv. Funct. Mater. 31, 2102307 (2021).
- [13] D.S. Kathyat, P. Sengupta. Phys. Rev. B 110, 144409 (2024).
- [14] A.N. Bogdanov, D.A. Yablonsky. Sov. Phys. JETP 95, 178 (1989).
- [15] М.А. Кузнецов, А.А. Фраерман. ЖЭТФ **164**, 514—525 (2023).
- [16] A. Leonov, M. Mostovoy. Nat. Commun. 6, 8275 (2015).
- [17] R. Ozawa, S. Hayami, Y. Motome. Phys. Rev. Lett. 118, 147205 (2017).
- [18] K.L. Metlov. Phys. Rev. Lett. 105, 107201 (2010).
- [19] M.S. Shustin, V.A. Stepanenko, D.M. Dzebisashvili. Phys. Rev. B. 107, 195428 (2023).
- [20] М.С. Шустин, Д.М. Дзебисашвили, В.А. Степаненко. ФТТ 65, 1021 (2023).
- [21] А.Д. Федосеев, М.С. Шустин, Д.М. Дзебисашвили. Письма в ЖЭТФ 120, 539 (2024).
- [22] E.S. Andriyakhina, I.S. Burmistrov. Phys. Rev. B 103, 174519 (2021).
- [23] Е.С. Андрияхина, С. Апостолофф, И.С. Бурмистров. Письма в ЖЭТФ 116, 801 (2022).
- [24] S.S. Apostoloff, E.S. Andriyakhina, P.A. Vorobyev, O.A. Tretiakov, I.S. Burmistrov. Phys. Rev. B 107, L220409 (2023).
- [25] S.S. Apostoloff, E.S. Andriyakhina, I.S. Burmistrov. Phys. Rev. B 109, 104406 (2024).
- [26] G. Yang, P. Stano, J. Klinovaja, D. Loss. Phys. Rev. B 93, 224505 (2016).
- [27] A.P. Petrovic, M. Raju, X.Y. Tee, A. Louat, I. Maggio-Aprile, R.M. Menezes, M.J. Wyszyński, N.K. Duong, M. Reznikov. Phys. Rev. Lett. 126, 117205 (2021).
- [28] E. Andriyakhina, I. Burmistrov. Phys. Rev. B **103**, *17*, 174519 (2021).
- [29] U. Gungordu, A.A. Kovalev. J. Appl. Phys. **132**, 041101 (2022).
- [30] J. Nothhelfer, S.A. Díaz, S. Kessler, T. Meng, M. Rizzi, K.M.D. Hals, K. Everschor-Sitt. Phys. Rev. B 105, 224509 (2022).
- [31] S.T. Konakanchi, J.I. Väyrynen, Y.P. Chen, P. Upadhyaya, L.P. Rokhinson. Phys. Rev. Res. 5, 033109 (2023).
- [32] D. Sen, R. Chitra. Phys. Rev. B 51, 1922 (1995).
- [33] O.I. Motrunich. Phys. Rev. B 73, 155115 (2006).
- [34] A.O. Leonov, T.L. Monchesky, N. Romming, A. Kubetzka, A.N. Bogdanov, R. Wiesendanger. New J. Phys. 18, 065003 (2016).

- [35] R.M. Menezes, J.F.S. Neto, C.C. de Souza Silva, M.V. Milosevic. Phys. Rev. B 100, 014431 (2019).
- [36] J. Pearl. Appl. Phys. Lett. 5, 65 (1964).
- [37] A.A. Abrikosov. Fundamentals of the Theory of Metals. North-Holland, Amsterdam (1988).
- [38] G. Carneiro, E.H. Brandt. Phys. Rev. B 61, 6370 (2000).
- [39] X. Wang, H. Yuan, M.X. Wang. Commun. Phys. 1, 1 (2018)
- [40] В.Ю. Ирхин, Ю.П. Ирхин. Электронная структура, корреляционные эффекты и физические свойства *d-* и *f-*переходных металлов и их соединений. РХД, М. (2008). 476 с.
- [41] Y. Xie, A. Qian, B. He, Y.-B. Wu, Sh. Wang, B. Xu, G. Yu, X. Han, X.G. Qiu. Phys. Rev. Lett 133, 166706 (2024).
- [42] M. Beg, M. Lang, H. Fangohr. IEEE Trans. Magn. 58, 1 (2022).

Редактор А.Н. Смирнов